

Exercice 2

1) On suppose qu'il n'y a pas de forces non conservatives TEM entre A et B:

$$\Delta E_m(A \rightarrow B) = 0$$

$$\Delta E_{pp}(A \rightarrow B) + \Delta E_{pel}(A \rightarrow B) + \Delta E_{ca}(A \rightarrow B) = 0$$

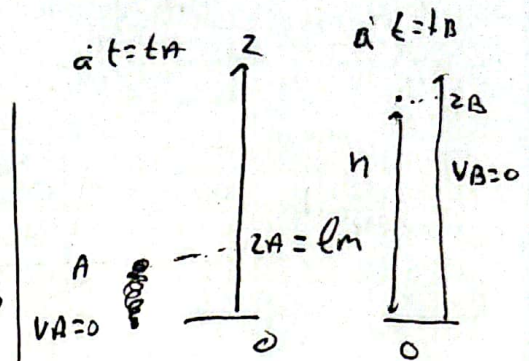
$$mgz_B - mgz_A + \frac{1}{2}K(l_0 - l_0)^2 - \frac{1}{2}K(l_m - l_0)^2 + \frac{1}{2}mv_B^2 - \frac{1}{2}mv_A^2 = 0$$

la queue est détendue

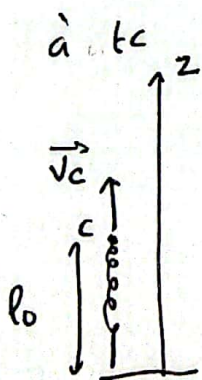
$$mgh - \frac{1}{2}K(l_m - l_0)^2 = 0$$

$$K = \frac{2mgh}{(l_m - l_0)^2}$$

A.N $K = 4,4 \cdot 10^3 \text{ N.m}^{-1}$



TEM entre A et C (on peut aussi faire entre C et B)*



$$\Delta E_m(A \rightarrow C) = 0 \Rightarrow \Delta E_{ca}(A \rightarrow C) + \Delta E_{pp}(A \rightarrow C) + \Delta E_{pel}(A \rightarrow C) = 0$$

$$\frac{1}{2}mv_C^2 - \frac{1}{2}mv_A^2 + mgz_C - mgz_A + \frac{1}{2}K(l_0 - l_0)^2 - \frac{1}{2}K(l_m - l_0)^2 = 0$$

$$\frac{1}{2}mv_C^2 + mg(l_0 - l_m) - \frac{1}{2}K(l_m - l_0)^2 = 0$$

$$mv_C^2 = K(l_m - l_0)^2 - 2mg(l_0 - l_m)$$

$$v_C^2 = \frac{K}{m}(l_m - l_0)^2 - 2g(l_0 - l_m)$$

$$= \frac{2mgh(l_m - l_0)^2}{m(l_m - l_0)^2} - 2g(l_0 - l_m)$$

$$v_C^2 = -2g(l_0 - l_m) + 2gh$$

$$v_C = \sqrt{2gh - 2g(l_0 - l_m)}$$

A.N $v_C = 11,7 \text{ m/s}$

* autre méthode entre C et B

$$\Delta E_m(C \rightarrow B) = 0$$

$$\Rightarrow mg(z_B - z_C) + \frac{1}{2}mv_B^2 - \frac{1}{2}mv_C^2 = 0$$

$$\frac{1}{2}mv_C^2 = mg(h - l_0)$$

$$v_C = \sqrt{2g(h - l_0)}$$

A.N $v_C = 12,5 \text{ m/s}$

Exercice 3

1) $\Delta E_{c(A \rightarrow B)} = \sum W_{A \rightarrow B}(\vec{F}_{ext})$ ici la seule force est $\vec{P} = m\vec{g}$

$$\Rightarrow \frac{1}{2} m v_B^2 - \frac{1}{2} m v_A^2 = W_{A \rightarrow B}(\vec{P}) = m g (z_A - z_B) = m g h$$

0 car sans élan

finalement $\boxed{v_B = \sqrt{2gh}}$

A.N $\underline{v_B = 31,3 \text{ m/s}}$

$v_B > v_{max} \Rightarrow$ norme pas respectée

2) $\Delta E_{c(A \rightarrow B)} = W_{A \rightarrow B}(\vec{P}) + W_{A \rightarrow B}(\vec{f})$

\vec{f} étant la force de frottement fluide

Δ de norme variable

$$\Rightarrow \frac{1}{2} m v_B^2 - \frac{1}{2} m v_A^2 = m g h + W_{A \rightarrow B}(\vec{f})$$

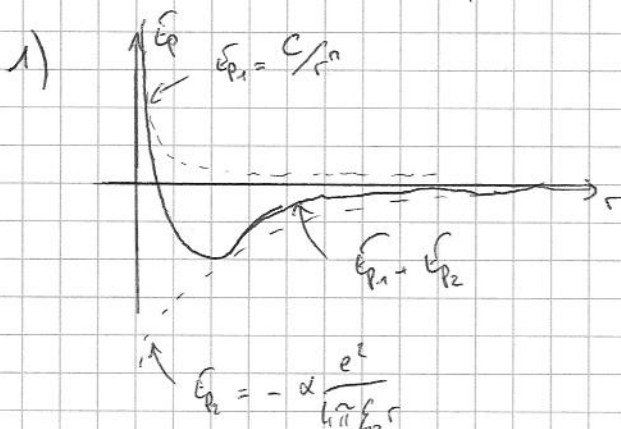
0

$$\boxed{W_{A \rightarrow B}(\vec{f}) = \frac{1}{2} m v_B^2 - m g h}$$

A.N: $\underline{W_{A \rightarrow B}(\vec{f}) = -13,3 \cdot 10^3 \text{ J}}$

$W_{A \rightarrow B}(\vec{f}) < 0$ car \vec{f} est résistante

vibration d'une molécule diatomique



1^{er} terme : $E_{p1} = \frac{C}{r^n}$

$$dW(\vec{F}_1) = \vec{F}_1 \cdot d\vec{r} = F_1 dr = -dE_{p1}$$

$$\Rightarrow F_1 = -\frac{dE_{p1}}{dr} = \frac{nC}{r^{n+1}}$$

donc $\vec{F}_1 = F_1 \vec{u}$ avec $F_1 > 0$ répulsive

2^{ème} terme : $E_{p2} = -\alpha \frac{e^2}{4\pi\epsilon_0 r}$

$$F_2 = -\frac{dE_{p2}}{dr} = -\alpha \frac{e^2}{4\pi\epsilon_0 r^2} < 0 \text{ force attractive}$$

2) $\frac{dE_p}{dr}(r_0) = 0 \Rightarrow \frac{nC}{r_0^{n+1}} + \alpha \frac{e^2}{4\pi\epsilon_0 r_0^2} = 0 \Rightarrow \frac{nC}{r_0^{n+1}} = \alpha \frac{e^2}{4\pi\epsilon_0 r_0^2}$

3) Et de E_p à l'ordre 2 au voisinage de r_0 :

$$E_p(r) \approx E_p(r_0) + (r-r_0) \underbrace{\frac{dE_p}{dr}(r_0)}_{=0} + \frac{1}{2} (r-r_0)^2 \underbrace{\frac{d^2E_p}{dr^2}(r_0)}_{=k}$$

$$\approx E_p(r_0) + \frac{1}{2} k (r-r_0)^2 \text{ ce qui correspond à l}'E_p \text{ d'un oscillateur élastique de raideur } k$$

$$k = \frac{d^2E_p}{dr^2}(r_0) = \frac{n(n+1)C}{r_0^{n+2}} - \alpha \frac{2e^2}{4\pi\epsilon_0 r_0^3} = \frac{n(n+1)C}{r_0^{n+2}} - \frac{2}{r_0} \frac{nC}{r_0^{n+1}}$$

$$= \frac{n(n+1)C}{r_0^{n+2}} - \frac{2nC}{r_0^{n+2}} = n(n-1) \frac{C}{r_0^{n+2}}$$

4) $\omega_0 = \sqrt{\frac{k}{m}}$ et $E_d = -E_p(r_0) = -\frac{C}{r_0^n} + \alpha \frac{e^2}{4\pi\epsilon_0 r_0} = -\frac{C}{r_0^n} + r_0 \frac{nC}{r_0^{n+1}}$

$$= (n-1) \frac{C}{r_0^n} = k \frac{r_0^2}{n}$$

5) $k = \omega_0^2 m$ AN : $k = 493 \text{ N.m}^{-1}$

$n = k r_0^2 / E_d$ AN : $n = 12$

$C = k r_0^{n+2} / n(n-1)$ AN : $C = 1,06 \cdot 10^{-138}$

$\alpha = \frac{nC}{r_0^{n+1}} \frac{4\pi\epsilon_0 r_0^2}{e^2}$ AN : $\alpha = 0,4$

pour une seule molécule

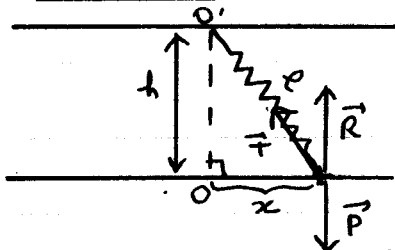
(avec $E_d = \frac{400 \cdot 10^3}{6,02 \cdot 10^{23}} \text{ J}$)

6) On peut imaginer de faire entrer en résonance la molécule en l'excitant avec une onde électromagnétique de fréquence $f_0 = \frac{c\omega_0}{2\pi} = 8,67 \cdot 10^{13} \text{ Hz}$

soit une longueur d'onde $\lambda_0 = \frac{c}{f_0} = 3,46 \text{ }\mu\text{m}$ (infrarouge)

7) Lorsque l'amplitude des oscillations devient grande, le puits de potentiel n'est plus du tout parabolique. L'approximation harmonique n'est plus valable et la fréquence de résonance de la molécule n'est plus f_0 . L'onde excitatrice n'est alors plus efficace et l'amplitude des oscillations n'augmente plus. Il faudrait pouvoir adapter la fréquence de l'onde excitatrice à l'amplitude des oscillations (cf. pendule, bataméro, balancier ...)

EXERCICE 5



1. Système : {anneau} Ref : TSG
BDF : $\vec{T}, \vec{P}, \vec{R} = \vec{R}_N$ (pas de frottement)

a. Remont : $E_{pot} = \frac{1}{2} k (l - l_0)^2 + cste$

Rq : ici, pour l'anneau, $z = cste \Rightarrow E_{pp} = cste$
et, $\forall t$, $\vec{R} \perp \vec{v}$ donc \vec{R} ne travaille pas (\vec{P} non plus d'ailleurs ici).

Donc $E_p = \frac{1}{2} k (l - l_0)^2 + cste$. que vaut l ici ?

Pythagore : $x^2 + h^2 = l^2$ donc $l = \sqrt{x^2 + h^2}$ et donc

$$E_p = \frac{1}{2} k (\sqrt{x^2 + h^2} - l_0)^2 + cste$$

b. On détermine $\frac{dE_p}{dx}$ (et PAS $\frac{dE_p}{dt}$!!!) \triangle

Ici

$$\frac{dE_p}{dx} = \frac{d}{dx} \left(\frac{1}{2} k (\sqrt{h^2 + x^2} - l_0)^2 \right) = \frac{1}{2} k \times 2 \times (\sqrt{h^2 + x^2} - l_0) \times \frac{2x}{2\sqrt{h^2 + x^2}}$$

$$\Rightarrow \frac{dE_p}{dx} = \frac{kx(\sqrt{h^2 + x^2} - l_0)}{\sqrt{h^2 + x^2}}$$

A l'équilibre, $\left(\frac{dE_p}{dx}\right)_{x=x_{eq}} = 0 \Leftrightarrow kx_{eq}(\sqrt{h^2 + x_{eq}^2} - l_0) = 0$

\Leftrightarrow

$$x_{eq} = 0$$

ou

$$\sqrt{h^2 + x_{eq}^2} - l_0 = 0$$

$$\Leftrightarrow h^2 + x_{eq}^2 = l_0^2$$

$$\Leftrightarrow x_{eq}^2 = l_0^2 - h^2$$

\triangle n'existe que si $l_0 > h$ (c'est le cas ici)

Donc, 3 positions d'équilibre :

$$\begin{aligned} x_{eq} &= 0 \\ x_{eq} &= -\sqrt{l_0^2 - h^2} \\ x_{eq} &= +\sqrt{l_0^2 - h^2} \end{aligned}$$

c. Stabilité : déterminons le signe de $\left(\frac{d^2E_p}{dx^2}\right)_{x=x_{eq}}$. Si > 0 \rightarrow stable. Si < 0 \rightarrow instable.

On avait : $\frac{dE_p}{dx} = kx - \frac{k l_0 x}{\sqrt{h^2 + x^2}}$

donc $\frac{d^2E_p}{dx^2} = k - k l_0 \frac{d}{dx} (x (h^2 + x^2)^{-1/2})$

$$= k - k l_0 \left(\frac{1}{\sqrt{h^2 + x^2}} + x \times \left(-\frac{1}{2}\right) (h^2 + x^2)^{-3/2} \times 2x \right)$$

donc $\frac{d^2E_p}{dx^2} = k - \frac{k l_0}{\sqrt{h^2 + x^2}} + \frac{k l_0 x^2}{(h^2 + x^2)^{3/2}}$

• Pour $x_{eq} = 0$, $\left(\frac{d^2E_p}{dx^2}\right)_{x=x_{eq}} = k - \frac{k l_0}{h} + 0 = k \left(1 - \frac{l_0}{h}\right) < 0$

\uparrow car $h < l_0$ ici.

\rightarrow $x_{eq} = 0$ est INSTABLE (logique physiquement).

• Pour $x_{eq} = \pm \sqrt{l_0^2 - h^2}$

alors $\left(\frac{d^2E_p}{dx^2}\right)_{x=x_{eq}} = k - \underbrace{\frac{k l_0}{l_0}}_{=0} + \underbrace{\frac{k l_0 x_{eq}^2}{(h^2 + x_{eq}^2)^{3/2}}}_{>0}$

\rightarrow $x_{eq} = \pm \sqrt{l_0^2 - h^2}$ sont STABLES

2. Dans le cas $h > l_0$, \exists une seule position d'équilibre $x_{eq} = 0$

et

$\left(\frac{d^2E_p}{dx^2}\right)_{x=x_{eq}=0} = k \left(1 - \frac{l_0}{h}\right) > 0$ (car $h > l_0$).

donc si $h > l_0$, $x_{eq} = 0$ est STABLE

Exercice 6

$$1) \delta W(\vec{r}) = \vec{f} \cdot d\vec{r} = -d\vec{v} \cdot d\vec{r} = -d\dot{x} \vec{e}_x \cdot d\vec{r} = -d\dot{x} \vec{e}_x \cdot d\vec{r} = -d\dot{x} dx$$

$$\boxed{\delta W(\vec{r}) = -d\dot{x} dx}$$

$$2) W_{A \rightarrow B}(\vec{r}) = \int_{x_A}^{x_B} \delta W(\vec{r}) = \int_{t_A=0}^{t_B=T} \mathcal{P}(\vec{r}) dt$$

$$\text{avec } \mathcal{P}(\vec{r}) = \frac{\delta W(\vec{r})}{dt} = -d\dot{x} \frac{dx}{dt} = -d\dot{x}^2 = -d\omega^2 A^2 \sin^2(\omega t + \phi)$$

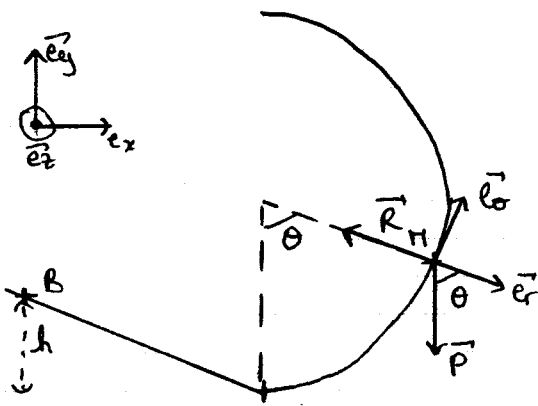
$$W_{A \rightarrow B}(\vec{r}) = \int_0^T -d\dot{x}^2 dt = \int_0^T -d\omega^2 A^2 \sin^2(\omega t + \phi) dt$$

$$W_{A \rightarrow B}(\vec{r}) = -dA^2 \omega^2 \int_0^T \frac{1 - \cos(2(\omega t + \phi))}{2} dt = -dA^2 \omega^2 \frac{T}{2}$$

$$[A] = L, [T] = T, [d] = \frac{[||\vec{r}||]}{[||\vec{v}||]} = \frac{M L T^{-2}}{L \cdot T^{-1}} = \frac{M \cdot T^{-1}}{L \cdot T^{-1}} = M \cdot T^{-1}, [\omega] = T^{-1}$$

$$[W_{A \rightarrow B}(\vec{r})] = \underbrace{M L^2 \cdot T^{-2}}_{\text{dim énergie}} \text{ et } \left[-\frac{dA^2 \omega^2 T}{2} \right] = M \cdot T^{-1} \times L^2 \times (T^{-1})^2 T = \overline{M L^2 T^{-2}}_{\text{CQFD}}$$

EXERCICE 7



1. Même méthode que l'exercice sur l'init. But ultime : exprimer R en fonction de θ et chercher pour quelle hauteur h R existe toujours $\forall \theta$.

MÉTHODE : ① grâce au PFD on exprime R en fonction de θ et v

② grâce au TEC on exprime v en fonction de θ

③ on en déduit une expression de R en fonction de θ (et éventuellement h, a , etc., ce qui compte c'est qu'il n'y ait plus de θ, v , et toute autre valeur non constante)

④ on cherche h_{\min} tq $R(h_{\min}) = 0$ lorsque $\theta = +\pi$ (le point au-dessus fait tout le tour avant de tomber).

Système : $\{M, \text{marée } m\}$

Ref : TSG

Bdf : \vec{P}, \vec{R}

$$\begin{aligned} \vec{P} &= mg \cos(\theta) \vec{e}_r - mg \sin(\theta) \vec{e}_\theta \\ \vec{R} &= -R \vec{e}_r \end{aligned}$$

① PFD : $m\vec{a} = \vec{P} + \vec{R}$ avec $\vec{v} = v\vec{e}_\theta$ (car $\dot{r}=0$) et donc :

$$\vec{a} = -\frac{v^2}{a} \vec{e}_r + \frac{dv}{dt} \vec{e}_\theta$$

On projette le PFD sur l'axe porté par \vec{e}_r :

$$-m \frac{v^2}{a} = mg \cos(\theta) - R \quad \text{donc} \quad \boxed{R = mg \cos(\theta) + m \frac{v^2}{a}}$$

② On cherche v en fonction de θ (et h, a , etc.)

TEC : $\Delta E_{\text{cin}} = \sum W_{\text{ext}}(\vec{F}_{\text{ext}})$ avec B le pt de départ de la masse.

$$\begin{aligned} \Rightarrow \frac{1}{2}mv^2 - \underbrace{\frac{1}{2}mv_B^2}_{=0 \text{ car } v_{\text{initiale}}=0} &= W_{\text{ext}}(\vec{P}) + \underbrace{W_{\text{ext}}(\vec{R})}_{=0 \text{ car } \forall t, \vec{R} \cdot \vec{v} = 0} \\ &\quad \begin{matrix} \uparrow & \uparrow \\ \text{selon } \vec{e}_r & \text{selon } \vec{e}_\theta \end{matrix} \end{aligned}$$

$\rightarrow \delta W(\vec{R}) = \vec{R} \cdot d\vec{r} = 0$

De plus, $\Delta W_{\text{ext}}(\vec{P}) = mg(y_B - y_H) (\vec{e}_y \uparrow)$

Or, ici, $y_B = h$ et $y_H = a - a \cos(\theta)$ (valable aussi pour $\theta > \frac{\pi}{2}$ car ds ce cas $y_H > a$ comme \cos)

donc $W_{\text{ext}}(\vec{P}) = mg(h - a + a \cos(\theta))$

et donc $\frac{1}{2}mv^2 = mg(h - a + a \cos(\theta))$

donc

$$\boxed{\frac{mv^2}{a} = \frac{2mg}{a} (h - a + a \cos(\theta))}$$

③ or $R = mg \cos(\theta) + m \frac{v^2}{a}$ donc $R = mg \cos(\theta) + \frac{2mg}{a} (h - a + a \cos(\theta))$

soit

$$\boxed{R = mg \left(3 \cos(\theta) + \frac{2h}{a} - 2 \right)} \quad \text{d'ailleurs}$$

④ On remarque que $R > 0$ qd $\theta \rightarrow \pi$, sa valeur étant minimale en A (logique!).

la masse effectue un looping si $R(\text{au pt } A) \neq 0$. Or, en A, $\theta = +\pi$, et donc $\cos(\theta) = -1$.

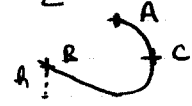
$$R \geq 0 \text{ pour } \cos(\theta) = -1 \text{ donc } mg\left(3 \times (-1) + \frac{2h}{a} - 2\right) \geq 0$$

$$\Rightarrow -5 + \frac{2h}{a} \geq 0 \Rightarrow$$

$$h \geq \frac{5a}{2} = h_{\text{lim}}$$

On doit lâcher M d'une hauteur au moins égale à $\frac{5a}{2}$ si on veut que M fasse un tour complet du cercle.

2. M ne peut quitter la gouttière qu'entre C et A.



Cas limites:

$$\begin{cases} \text{M quitte la gouttière en C, } \theta = \frac{\pi}{2} \\ R = 0 \end{cases} \Rightarrow 0 = mg\left(0 + \frac{2h}{a} - 2\right)$$

$$\hookrightarrow h = a$$

$$\begin{cases} \text{M quitte la gouttière en A, } \theta = \pi \\ R = 0 \end{cases}$$

$$\hookrightarrow h = h_{\text{lim}} = \frac{5a}{2}$$

\rightarrow M quitte la gouttière entre C et A pour

$$a \leq h \leq \frac{5a}{2}$$

$$\text{Dans ce cas } y_{\text{décollage}} = z_D = a - a \cos(\theta_{\text{décollage}})$$

$$\text{or au décollage } R = 0 \Rightarrow 3 \cos(\theta) + \frac{2h}{a} - 2 = 0$$

$$\Rightarrow \cos(\theta_{\text{décollage}}) = \frac{2}{3} \left(1 - \frac{h}{a}\right)$$

donc

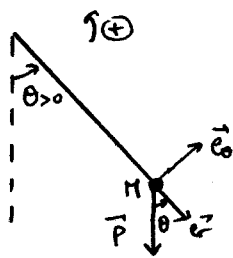
$$z_D = a - a \times \frac{2}{3} \left(1 - \frac{h}{a}\right) = a - \frac{2}{3}a + \frac{2}{3}h$$

soit

$$z_D = \frac{1}{3}(a + 2h)$$

EXERCICE 8

1. Cas général :



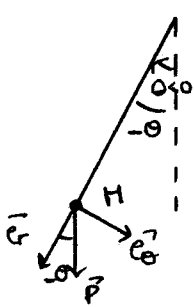
$$SW(\vec{P}) = \vec{P} \cdot d\vec{on} = \begin{pmatrix} mg \cos(\theta) \\ -mg \sin(\theta) \end{pmatrix} \cdot \begin{pmatrix} dl \\ l d\theta \end{pmatrix} \quad \text{or } dl = 0 \quad (l = \text{cste})$$

$$\text{donc } SW(\vec{P}) = -mg l \sin(\theta) d\theta = -d(-mg l \cos(\theta) + \text{cste})$$

$$\text{or } SW(\vec{P}) = -dE_p \text{ donc}$$

$$E_p = -mg l \cos(\theta) + \text{cste}$$

Remarque : cette démo est valable à droite comme à gauche. En effet, à gauche :



$$\Rightarrow SW(\vec{P}) = \vec{P} \cdot d\vec{on} = \begin{pmatrix} +mg \cos(-\theta) \\ +mg \sin(-\theta) \end{pmatrix} \cdot \begin{pmatrix} 0 \\ l d\theta \end{pmatrix}$$

$$= \begin{pmatrix} mg \cos(\theta) \\ -mg \sin(\theta) \end{pmatrix} \cdot \begin{pmatrix} 0 \\ l d\theta \end{pmatrix}$$

$$\Rightarrow E_p = -mg l \cos(\theta) + \text{cste}$$

On en déduit :

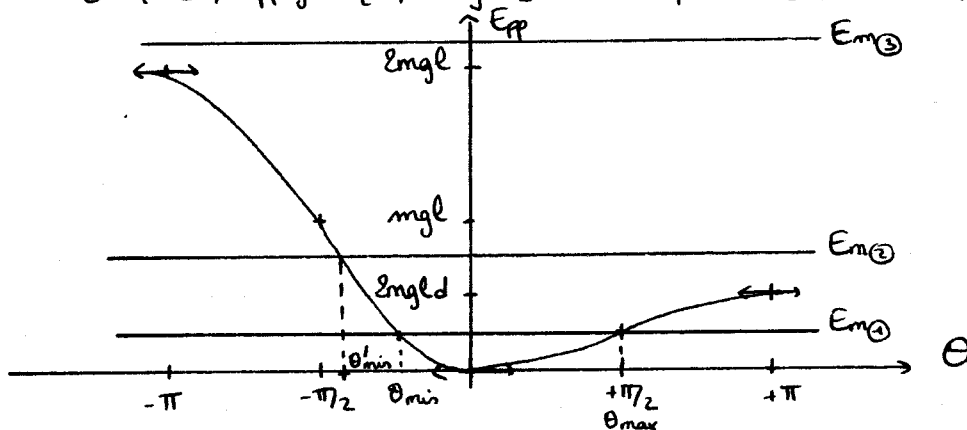
$$\begin{cases} E_{pg} = -mg l \cos(\theta_g) + \text{cste}_1 \\ E_{pd} = -mg l \cos(\theta_d) + \text{cste}_2 \end{cases}$$

$$E_{pg}(\theta_g = 0) = 0 \Rightarrow \text{cste}_1 = mg l \quad \text{et} \quad E_{pd}(\theta_d = 0) = 0 \Rightarrow \text{cste}_2 = mg l$$

et donc

$$E_{pg} = mg l (1 - \cos(\theta_g)) \quad \text{et} \quad E_{pd} = mg l (1 - \cos(\theta_d))$$

Lorsque $\theta \in [-\pi, 0]$, $E_{pg} \in [0, 2mg l]$ et lorsque $\theta \in [0, +\pi]$, $E_{pd} \in [0, 2mg l]$

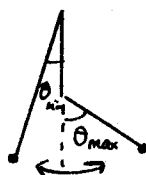


2. $\theta \mapsto E_p(\theta)$ a 3 extrema \rightarrow "3" positions d'équilibre.

la position $\theta = \theta_d = \theta_g = 0$ correspond à un minimum d' $E_p \Rightarrow \underline{\theta_e = 0}$
est donc une position d'équilibre stable.

les positions $\theta = +\pi$ et $\theta = -\pi$ correspondent à des maxima d' $E_p \Rightarrow$
 $\theta_e = \pm\pi$ sont des positions d'équilibre instables.

3. Cas ① $E_{m1} < 2mg l d$: mouvement borné, $\theta \in [\theta_{\min}, \theta_{\max}]$



\rightarrow mouvement pendulaire

Cas ② $2mgl_d < E_{m0} < 2mgl$, alors $\theta \in [\theta'_{\min}, +\infty[$

\Rightarrow le pendule va rebrousser chemin en $\theta = \theta'_{\min}$ mais rien ne limite son mouvement du côté droit. Le pendule va donc tourner autour du point K sans s'arrêter avec $\dot{\theta} > 0$ \forall .

Cas ③ $E_{m0} > 2mgl$ alors $\theta \in]-\infty, +\infty[$.

\Rightarrow En pratique, si on l'a lancé vers la gauche, le pendule, après avoir fait un grand tour autour de O, va tourner autour de K sans s'arrêter.

Si on l'a lancé vers la droite, il tourne autour de K sans s'arrêter.

4. A gauche $E_{mg} = \frac{1}{2} m (\dot{\theta}_g)^2 + mgl (1 - \cos(\theta_g))$. Or \vec{P} est conservatif et \vec{T} ne travaille pas (car $\vec{T} \cdot \vec{v} = 0$) donc

$$\frac{dE_{mg}}{dt} = 0 \Rightarrow m l^2 \ddot{\theta}_g + mgl \sin(\theta_g) \dot{\theta}_g = 0$$

$$\Rightarrow \ddot{\theta}_g + \frac{g}{l} \sin(\theta_g) = 0$$

5. A droite (m même méthode que 4.) $\ddot{\theta}_d + \frac{g}{l_d} \sin(\theta_d) = 0$

$$\text{et } E_{md} = \frac{1}{2} m (\dot{\theta}_d)^2 + mgl_d (1 - \cos(\theta_d))$$

6. "faible amplitude" $\Rightarrow \sin(\theta_g) \sim \theta_g$ et $\sin(\theta_d) \sim \theta_d$

$$\text{Alors } T = \frac{T_g}{2} + \frac{T_d}{2} \quad \text{soit } T_g = 2\pi \sqrt{\frac{l}{g}} \quad \text{et } T_d = 2\pi \sqrt{\frac{l_d}{g}}$$

donc

$$T = \pi \left(\sqrt{\frac{l}{g}} + \sqrt{\frac{l_d}{g}} \right)$$

7. On a vu que 3 que $\theta_{\max} > |\theta_{\min}|$ donc on sait déjà que le mv't de plus grande amplitude est celui de droite.

Montrons-le :

L'altitude max est atteinte lorsque $E_c = 0$ c-a-d $E_m = E_{pp}$

$$\Rightarrow E_{mg}(E_c=0) = mgl (1 - \cos(\theta_{g\max}))$$

$$E_{md}(E_c=0) = mgl_d (1 - \cos(\theta_{d\max}))$$

Par conservation de l' E_m , $mgl(1 - \cos(\theta_{g\max})) = mgl(1 - \cos(\theta_{d\max}))$

$$\Rightarrow \underbrace{l(1 - \cos(\theta_{g\max}))}_{\text{altitude max à gauche}} = \underbrace{l_d(1 - \cos(\theta_{d\max}))}_{\text{altitude max à droite (origine en } \theta=0)}$$

altitude max à gauche altitude max à droite (origine en $\theta=0$)

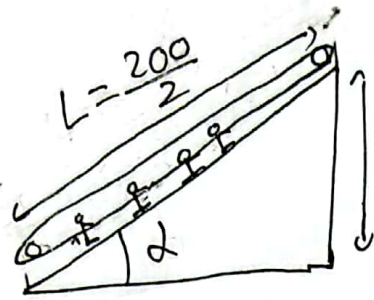
Les altitudes maximales sont identiques.

$$l > l_d \text{ donc } 1 - \cos(\theta_{g\max}) < 1 - \cos(\theta_{d\max}) \Rightarrow \cos(\theta_{g\max}) > \cos(\theta_{d\max})$$

$$\text{or } \theta_{g,d} \in [0, \frac{\pi}{2}] \text{ et } \cos \downarrow \text{ entre } 0 \text{ et } \frac{\pi}{2} \text{ donc } \boxed{\theta_{g\max} < \theta_{d\max}}$$

Exercice 9

on suppose que la longueur du câble est 2x la longueur de la piste



$$\tan \alpha = \frac{h}{L}$$

$$A.N \alpha = 0,05 \text{ rad}$$

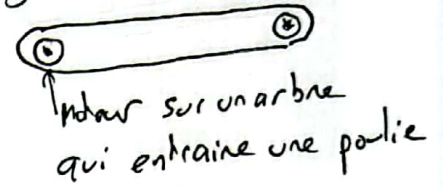
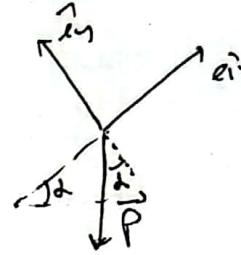
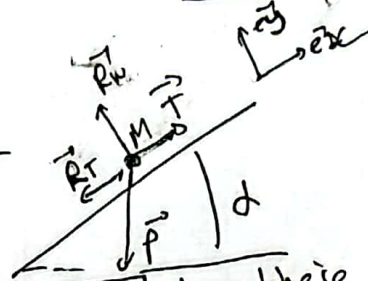


schéma d'un skieur (M)



Bilan des forces

sur un skieur de masse $m = 70 \text{ kg}$ hypothèse

• force de traction du câble $\vec{T} = T \vec{e}_x$ hypothèse

• Réaction normale $\vec{R}_N = R_N \vec{e}_y$

• tangentielle $\vec{R}_T = -R_T \vec{e}_x$

• Poids $\vec{P} = m\vec{g} = mg(-\cos \alpha \vec{e}_y - \sin \alpha \vec{e}_x)$

Comme la vitesse est constante et le mt rectiligne

MTRU \Rightarrow les forces se compensent

$$T \vec{e}_x + R_N \vec{e}_y - R_T \vec{e}_x - mg \sin \alpha \vec{e}_x - mg \cos \alpha \vec{e}_y = \vec{0}$$

Projecté sur \vec{e}_x : $T - R_T - mg \sin \alpha = 0$

sur \vec{e}_y : $R_N = mg \cos \alpha$

Colomb $\Rightarrow R_T = f R_N = f mg \cos \alpha$ donc $T = R_T + mg \sin \alpha$

$$\boxed{T = mg(f \cos \alpha + \sin \alpha)} \quad A.N \quad T \approx 56 \text{ N}$$

Puissance de \vec{T} pour une vitesse $\vec{v} = v \vec{e}_x$ avec $v = 5 \text{ km/h} = 1,4 \text{ m/s}$

$$\mathcal{P}(\vec{T}) = \vec{T} \cdot \vec{v} = T \times v \quad A.N \quad \mathcal{P}(\vec{T}) \approx 80 \text{ W}$$

Il y a 100 skieurs sur la piste
distance $\rightarrow 5$
entre les skieurs

$$\text{donc } \mathcal{P}_{\text{moteur}} = \frac{100 \times \mathcal{P}(\vec{T})}{5}$$

$$A.N \quad \mathcal{P}_{\text{moteur}} = 1,6 \text{ kW} \leftarrow \text{est réalisable!}$$